



**HAL**  
open science

# Une méthode de classification ascendante hiérarchique par compromis : hclustcompro

Lise Bellanger, Arthur Coulon, Philippe Husi

► **To cite this version:**

Lise Bellanger, Arthur Coulon, Philippe Husi. Une méthode de classification ascendante hiérarchique par compromis : hclustcompro. 9e Conférence Internationale Francophone sur la Science des Données (CIFSD), CIFSD, Mohamed QUAFAROU, Jun 2021, Marseille, France. hal-03280918

**HAL Id: hal-03280918**

**<https://hal.science/hal-03280918>**

Submitted on 9 Jul 2021

**HAL** is a multi-disciplinary open access archive for the deposit and dissemination of scientific research documents, whether they are published or not. The documents may come from teaching and research institutions in France or abroad, or from public or private research centers.

L'archive ouverte pluridisciplinaire **HAL**, est destinée au dépôt et à la diffusion de documents scientifiques de niveau recherche, publiés ou non, émanant des établissements d'enseignement et de recherche français ou étrangers, des laboratoires publics ou privés.

Public Domain



## 2<sup>e</sup> Conférence Internationale Francophone sur la Science des Données

Actes de la conférence

9-11 juin 2021

Marseille

Aix-Marseille Université - LIS UMR 7020

<https://cifsd-2021.sciencesconf.org>



## Avant-propos

De 2004 à 2016, la conférence a eu lieu tous les deux ans avec l'intitulé "Apprentissage Artificiel & Fouille de Données" (AAFD). Depuis 2018, la conférence a pris une dimension internationale et s'est transformée en une Conférence Internationale Francophone sur la Science des Données (CIFSD).

En raison de la situation sanitaire, la 2e édition de CIFSD se déroule en distanciel et est gratuite avec une inscription obligatoire. Pour cette édition, la thématique "science de données et santé" est mise en avant et ce choix prend tout son sens avec la période actuelle et l'émergence du vivant dans notre vie. Dans ce contexte, nous avons l'honneur et l'énorme plaisir de recevoir Thomas GRÉGORY, Jacques VAN HELDEN et Fabrizio MATURO, en tant que conférenciers invités pour présenter les avancés de l'intelligence artificielle dans trois domaines de la santé : la chirurgie, l'analyse de données multi-omiques et l'électrocardiogramme (ECG) :

- *La chirurgie guidée par l'Intelligence Artificielle*,  
par Thomas GRÉGORY  
Chef de service, Service de chirurgie de la main, du membre supérieur et du sport, Assistance Publique - Hôpitaux de Paris, Hôpital Avicenne, Bobigny,  
Professeur (PUPH) de chirurgie orthopédique et traumatologique, Université Sorbonne-Paris-Nord,  
Équipe Projet MOVEO (Intelligence Artificielle en Santé), LaMSN, Université Sorbonne-Paris-Nord,
- *Applications de l'IA aux données multi-omiques de biologie-santé*,  
par Jacques VAN HELDEN  
Codirecteur de l'Institut Français de Bio-informatique (IFB),  
Professeur de bio-informatique, Université d'Aix-Marseille (AMU),
- *Supervised classification of ECG curves via a combined use of functional data analysis and tree-based methods to identify people affected by heart disease*,  
par Fabrizio MATURO  
Adjunct Professor at the Department of Mathematics and Physics,  
University of Campania "Luigi Vanvitelli" in Caserta, Italy.

En plus de ces trois conférences, 24 articles présentent les résultats d'équipes de chercheurs provenant de 8 pays différents dont la France. Ces articles sont organisés en 6 sessions dont 4 portant sur les aspects généraux de la science de données, une session sur ses applications et une dernière session sur la science de données et santé. Tous ces travaux sont regroupés dans ce document scientifique de très bonne qualité mis à disposition en ligne sur l'archive ouverte HAL (<https://hal.archives-ouvertes.fr>).

Cinq articles sont pré-sélectionnés pour le prix du meilleur article. Trois seront classés et annoncés à la fin de la conférence lors de la remise des prix.

Je tiens à remercier chaleureusement :

- Les auteurs pour leurs contributions,
- Le comité de programme pour la qualité de leurs rapports,
- Le comité d'organisation pour le très bon travail réalisé dans un contexte anxio-gène.

Mohamed QUAFAROU

Aix-Marseille Université, Laboratoire d'Informatique et Systèmes

Président du comité de programme de CIFSD 2021

### **Comité de pilotage**

Younès BENNANI, Université Sorbonne Paris Nord  
Abdelouahid LYHYAOUI, ENSAT  
Mohamed QUAFARFOU, Aix-Marseille Université  
Said RAGHAY, Université Cadi Ayyad - SASD  
Abdelfattah TOUZANI, Université SMBA  
Emmanuel VIENNET, Université Sorbonne Paris Nord

### **Comité de programme**

Président du comité de programme :  
Mohamed QUAFARFOU, Aix-Marseille Université

Massih-Reza AMINI, Université Grenoble Alpes  
Thierry ARTIÈRES, Ecole Centrale Marseille  
Hadj BATATIA, Heriot-Watt University, Dubai Campus  
Khalid BENABDESLEM, Université Claude Bernard Lyon 1  
Younès BENNANI, Université Sorbonne Paris Nord  
Gilles BISSON, CNRS-LIG Grenoble  
Paula BRITO, Université de Porto, Portugal  
Stéphane CANU, INSA de Rouen  
Guillaume CLEUZIOU, Université d'Orléans  
Guy CUCUMEL, Université du Québec à Montréal, Canada  
Jean DIATTA, Université de La Réunion  
Richard EMILION, Université d'Orléans  
Patrick GALLINARI, Sorbonne Université  
Pierre GANÇARSKI, Université de Strasbourg  
Eric GAUSSIER, Université Grenoble Alpes  
Nadia GHAZZALI, Université du Québec à Trois-Rivières, Canada  
Nistor GROZAVU, Université Sorbonne Paris Nord  
Yann GUERMEUR, CNRS-LORIA Nancy  
André HARDY, Université de Namur, Belgique  
Zahi JARIR, Université Cadi Ayyad, Marrakech, Maroc  
Léonard KWUIDA, Université de Bern, Suisse  
Lazhar LABIOD, Université Paris Descartes  
Philippe LERAY, Université de Nantes  
Lotfi LAKHAL, Aix-Marseille Université  
Vladimir MAKARENKOV, Université du Québec à Montréal, Canada  
Franck MARZANI, Université de Bourgogne  
Engelbert MEPHU NGUIFO, Université Clermont-Ferrand  
Mathilde MOUGEOT, Université Paris Diderot  
Mohamed NADIF, Université Paris Descartes  
Bruno PINAUD, Université de Bordeaux

El Mostafa QANNARI, ONIRIS Nantes  
Agus Budi RAHARJO, Institut de technologie Sepuluh Nopember, Surabaya, Indonésie  
Gilbert RITSCHARD, Université de Genève, Suisse  
Nicoleta ROGOVSKI, Université Paris Descartes  
Fabrice ROSSI, Université Paris Dauphine  
Lorenza SAITTA, Université de Turin, Italie  
Marc SEBBAN, Université Jean Monnet Saint-Etienne  
Fabien TORRE, Université de Lille  
Michel VERLEYSEN, Université de Louvain, Belgique  
Emmanuel VIENNET, Université Sorbonne Paris Nord  
Cédric WEMMERT, Université de Strasbourg  
Djamel Abdelkader ZIGHED, Université de Lyon  
Jean-Daniel ZUCKER, Institut de Recherche pour le Développement

### **Comité d'organisation**

Nicolas DURAND, Aix-Marseille Université  
Alain CASALI, Aix-Marseille Université  
Sébastien MAVROMATIS, Aix-Marseille Université

## Table des matières

### Articles

Vers une régression Laplacienne semi-supervisée et multi-labels <i>Vivien Kraus, Khalid Benabdeslem, Bruno Canitia</i> . . . . .	1
Apprentissage semi-supervisé transductif basé sur le transport optimal <i>Mourad El Hamri, Younès Bennani, Issam Falih</i> . . . . .	13
Techniques de génération de population initiale d'algorithmes génétiques pour la sélection de caractéristiques <i>Marc Chevallier, Nicoleta Rogovschi, Faouzi Boufarès, Nistor Grozavu, Charly Clairmont</i> . . . . .	25
Clustering quantique à base de prototypes <i>Kaoutar Benlamine, Younès Bennani, Ahmed Zaiou, Mohamed Hibti, Basarab Matei, Nistor Grozavu</i> . . . . .	37
Une méthode de classification ascendante hiérarchique par compromis : hclustcompro <i>Lise Bellanger, Arthur Coulon, Philippe Husi</i> . . . . .	49
Clustering collaboratif à partir de données et d'informations privilégiées <i>Yohan Foucade, Younès Bennani</i> . . . . .	61
Clustering spectral en utilisant des approximations d'ordre supérieur non homogènes de la distribution de Student <i>Nistor Grozavu, Petru Alexandru Vlaicu, Nicoleta Rogovschi, Basarab Matei</i> . . . . .	73
Clustering multi-vues basé sur le transport optimal régularisé <i>Fatima-Ezzahraa Ben-Bouazza, Younès Bennani, Abdelfettah Touzani, Guénaël Cabanes</i> . . . . .	89
Fouille de motifs fermés et diversifiés basée sur la relaxation <i>Arnold Hien, Samir Loudni, Noureddine Aribi, Yahia Lebbah, Amine Laghzaoui, Abdelkader Ouali, Albrecht Zimmermann</i> . . . . .	101
Vers l'extraction efficace des représentations condensées de motifs; Application aux motifs Pareto Dominants <i>Charles Vernerey, Samir Loudni, Noureddine Aribi, Yahia Lebbah</i> . . . . .	113

Comparaisons des mesures de centralité classiques et communautaires : une étude empirique <i>Stephany Rajeh, Marinette Savonnet, Eric Leclercq, Hocine Cherifi</i> . . . . .	125
Algorithme quantique pour trouver les séparateurs d'un graphe orienté <i>Ahmed Zaiou, Younès Bennani, Mohamed Hibti, Basarab Matei</i> . . . . .	137
Les tweets vocaux entre humanisation et modération : conséquences, défis et opportunités <i>Didier Henry</i> . . . . .	149
Utilisation de la science des données pour analyser des bases de données d'un observatoire du vignoble français <i>Elizaveta Logosha, Solène Malblanc, Frédéric Bertrand, Myriam Maumy-Bertrand, Céline Abidon, Sophie Louise-Adèle</i> . . . . .	161
Recommandations en cas d'urgence : mobilité urbaine des ambulanciers <i>Ayoub Charef, Zahi Jarir, Mohamed Quafafou</i> . . . . .	173
Prévision de la consommation d'électricité à l'échelle individuelle dans les secteurs résidentiel et tertiaire <i>Fatima Fahs, Frédéric Bertrand, Myriam Maumy</i> . . . . .	187
Apprentissage supervisé rapide pour des données tensorielles <i>Ouafae Karmouda, Jérémie Boulanger, Rémy Boyer</i> . . . . .	201
Amélioration de l'entreposage des données spatio-temporelles massives <i>Hanen Balti, Nedra Mellouli, Ali Ben Abbas, Imed Riadh Farah, Myriam Lamolle, Yangfang Sang</i> . . . . .	211
Alignement non supervisé d'embeddings de mots dans le domaine biomédical <i>Félix Gaschi, Parisa Rastin, Yannick Toussaint</i> . . . . .	223
Problème d'apprentissage supervisé en tant que problème inverse basé sur une fonction de perte $L^1$ <i>Soufiane Lyaqini, Mourad Nachaoui, Mohamed Quafafou</i> . . . . .	235
Analyse statistique robuste et apprentissage profond à partir de séquences spectrales d'EEG pour la détection de somnolence <i>Antonio Quintero-Rincón, Hadj Batatia</i> . . . . .	247
Analyse automatique du discours de patients pour la détection de comorbidités psychiatriques <i>Christophe Lemey, Yannis Haralambous, Philippe Lenca, Romain Billot, Deok-Hee Kim-Dufor</i> . . . . .	261
Prédiction des maladies chroniques : cas de l'insuffisance rénale <i>Basma Boukenze</i> . . . . .	273

Une analyse NLP du flux Twitter Covid/Corona - Confinement 1 : la montée du  
masque  
*Christophe Benavent, Mihai Calciu, Julien Monnot, Sophie Balech . . . . .* 287

**Index des auteurs** **303**

# Une méthode de classification ascendante hiérarchique par compromis : hclustcompro

Lise Bellanger \*, Arthur Coulon\*\*, Philippe Husi\*\*

\* Université de Nantes Laboratoire de Mathématiques Jean Leray UMR CNRS 6629, 2 rue de la Houssinière  
BP 92208, 44322 Nantes Cedex 03, France  
[lise.bellanger@univ-nantes.fr](mailto:lise.bellanger@univ-nantes.fr)  
<http://www.math.sciences.univ-nantes.fr/~bellanger/>

\*\* CNRS/Université de Tours, UMR 7324 CITERES, Laboratoire Archéologie et Territoires,  
40 rue James Watt, ActiCampus 1, 37200 Tours, France

**Résumé.** Les méthodes d'apprentissage semi-supervisé permettent d'utiliser des connaissances a priori pour guider l'algorithme de classification dans la découverte de groupes. Dans ce travail, nous proposons un nouvel algorithme de classification de type ascendante hiérarchique (CAH) prenant en compte deux sources d'information associées aux mêmes objets. Cette méthode appelée CAH par compromis (hclustcompro), permet un compromis entre les hiérarchies obtenues à partir de chaque source prise séparément. Une combinaison convexe des dissimilarités associées à chacune des sources est utilisée pour modifier la mesure de dissimilarité dans l'algorithme CAH classique. Le choix du paramètre de mélange est le point clé de la méthode. Nous proposons une fonction objectif à minimiser basée sur la différence absolue des corrélations entre dissimilarités initiales et distances cophénétiques, ainsi qu'une procédure de rééchantillonnage pour assurer la robustesse du choix du paramètre de mélange. Nous illustrons notre méthode avec des données archéologiques provenant du site d'Angkor Thom au Cambodge.

**Mots-clés :** classification ascendante hiérarchique, apprentissage semi-supervisé, compromis, distance cophénétique, archéologie.

## 1. Introduction

Les problèmes de classification ou clustering peuvent être abordés à l'aide d'une grande variété de méthodes, toutes nécessitant des techniques dédiées pour la phase de prétraitement des données. Il existe une littérature abondante sur le sujet de la classification, voir par exemple (Aggarwal et Reddy, 2014 ; Everitt et al., 2001 ; Kaufman et Rousseeuw, 2005 ; Nakache et Confais, 2005). Les deux algorithmes les plus connus sont la classification par partition et la classification hiérarchique. Dans cet article, nous nous concentrons sur la classification

Une méthode de classification ascendante hiérarchique par compromis : hclustcompro

ascendante hiérarchique (CAH) dont le principe fondamental consiste à construire une structure de données basée sur un arbre binaire appelé le dendrogramme. Quand il existe une information a priori sur les relations entre les individus (e.g. relation de voisinage spatial, relation d'ordre (en génomique), ...), l'utilisation de méthodes de classification avec contraintes (Ferligoj et al., 1982 ; Legendre et al., 1985 ; Chavent et al., 2018) ou avec prior knowledge (Ma et Dhavala, 2018) permet d'en tenir compte pour construire les groupes. Quand plusieurs sources de données existent, l'utilisation de méthodes de classification par consensus permet d'agréger l'information (Hulot et al., 2020).

A l'origine de la méthode présentée dans cet article, se trouve un problème récurrent chez les archéologues abordé ici dans le cadre d'un projet interdisciplinaire "ModAThôm" (projet ANR, 2018-2022) Modèle explicatif de la fabrique d'Angkor Thom : archéologie d'une ville capitale disparue. Il s'agit de disposer d'un outil statistique d'aide à la périodisation d'ensembles stratigraphiques (niveaux d'occupation, dépotoirs, destruction d'un bâtiment...) pouvant provenir du même site ou de plusieurs sites d'une même ville, parfois spatialement distant donc sans connexion les uns avec les autres. Le résultat prend la forme d'un diagramme des ensembles périodisés jalonnant l'histoire du site en fonction de la proximité temporelle des ensembles. La méthode de classification développée avait donc initialement été appelée *perioclust* (Bellanger et al., 2021a). Mais après discussion avec Gilbert Saporta (PR Emérite CNAM Paris), il s'est avéré plus juste de parler de CAH par compromis et non avec contraintes. De plus, cette méthode a depuis été mise en œuvre sur des données médicales (Bellanger et al., 2021b). Nous avons donc décidé de changer son nom et opté pour un nom plus générique d'où *hclustcompro*. Cette CAH par compromis est une procédure d'apprentissage semi-supervisé, conçue pour prendre en compte deux sources d'information associées aux mêmes observations et potentiellement sujettes à des erreurs. Une approche basée sur la distance est adoptée pour modifier la mesure de distance dans l'algorithme CAH classique en utilisant une combinaison convexe des deux matrices de dissimilarités initiales. Le choix du paramètre de mélange est donc le point-clé. Nous définissons un critère de sélection de ce paramètre basé sur les distances cophénétiqes, ainsi qu'une procédure de rééchantillonnage pour décider du choix du paramètre de mélange dans la méthode de classification proposée.

Cet article est organisé comme suit. Dans la section 2, nous décrivons les méthodes existantes tenant compte d'informations a priori. Dans la section 3, nous présentons l'algorithme proposé. Dans la section 4, nous illustrons notre approche sur un jeu de données archéologiques provenant du site d'Angkor Thom au Cambodge.

## 2. Bref aperçu des méthodes CAH tenant compte d'informations a priori

Les méthodes d'apprentissage semi-supervisé permettent d'utiliser des connaissances a priori pour guider l'algorithme de classification dans la découverte de groupes. Quand il existe une information sur les relations entre les objets (e.g. relation de voisinage spatial, relation d'ordre (en génomique), ...), l'utilisation de méthodes de classification *avec contraintes* permet d'en tenir compte pour construire les groupes. Dans le cas de plusieurs sources de données, l'utilisation de méthodes de classification par *consensus* permet d'agréger l'information.

En français, une contrainte définit une règle qui impose un certain comportement. De la même manière, la classification avec contraintes est une classe d'algorithmes d'apprentissage semi-supervisé qui diffère de son homologue sans contraintes en ce sens que les seuls groupes admissibles sont ceux qui respectent plus ou moins strictement la(es) relation(s). Nous n'évoquons ici que celles appelées "Instance Level constraints" (IL) (Davidson et Basu, 2007 ; Struyf, J. et S. Džeroski, 2007), spécifiant des règles sur les objets qui peuvent ou non appartenir au même groupe. Les contraintes de type IL ont été incorporées avec succès à l'algorithme CAH (Davidson et Ravi, 2005). Il existe deux grandes approches : (i) celles dans lesquelles l'algorithme de classification est modifié pour intégrer les contraintes, (ii) celles dans lesquelles seule la dissimilarité est modifiée dans l'algorithme de classification.

Dans l'approche basée sur l'intégration des contraintes dans l'algorithme, les méthodes CAH basée sur la formule de Lance et Williams (Lance et Williams, 1967) sont facilement modifiables pour intégrer la contrainte. Les algorithmes de classification avec contrainte temporelle (ou spatiale) doivent indiquer sans ambiguïté quels sont les objets voisins. La solution la plus courante pour la classification avec contrainte de contiguïté est d'utiliser des schémas de connexion simples (voir par exemple Legendre et Legendre, 2012, Ferligo et Batagelj, 1982). Cette approche présente quelques inconvénients : (i) elle peut occasionnellement produire des inversions dans le dendrogramme, sauf dans le cas du critère du diamètre (Ferligo et Batagelj, 1982), (ii) elle ne considère généralement que les dissimilarités entre objets liés, ce qui peut être trop restrictif dans certains domaines comme l'archéologie, comme nous le verrons plus loin. Une approche basée sur la dissimilarité, adaptée aux contraintes de proximité géographique, proposée par Chavent et al. (2018), consiste à modifier la dissimilarité dans l'algorithme CAH. Les contraintes géographiques sont intégrées à travers deux matrices de dissimilarités et un paramètre de mélange. Cette procédure a l'avantage d'être basée sur la dissimilarité et un critère d'hétérogénéité à minimiser à chaque étape pour construire le dendrogramme. Cependant, elle se fonde sur la stratégie d'agrégation de Ward qui ne convient pas à tous les types d'objets et le choix du paramètre de mélange n'est pas toujours évident.

Une autre approche (Ma et Dhavala, 2018), basée sur la dissimilarité, consiste à intégrer les connaissances a priori en combinant deux dissimilarités (celle associée aux données originelles et une distance ultramétrique relative aux connaissances a priori). Pour un nombre de groupes fixé, le paramètre de mélange peut être obtenu en maximisant une mesure de stabilité de la partition telles que l'indice de Davies-Bouldin ou l'indice de Dunn. Cette approche présente les inconvénients suivants : (i) les auteurs ne la présentent que pour la CAH avec lien simple et le cas de l'intégration de connaissance ontologique, (ii) le choix du paramètre et du nombre de groupes se fait simultanément à l'aide d'un critère de stabilité de la partition.

Enfin, la CAH par consensus (Hulot et al., 2020) conduit à regrouper un ensemble d'arbres ayant les mêmes feuilles pour créer un arbre consensus. Dans l'arbre consensus, un groupe à la hauteur  $h$  contient les objets qui sont dans le même groupe pour tous les arbres à la hauteur  $h$ . Le principal avantage de cette méthode est de pouvoir travailler avec plus de deux sources d'information. Cependant, par définition d'un consensus, la méthode construit un arbre correspondant à un accord ou consentement du plus grand nombre ; ce qui n'est pas toujours le but recherché.

Dans ce travail, nous proposons une approche CAH, appelée CAH par compromis, pour tenir compte des informations disponibles pour deux sources. Notre approche reprend, en

Une méthode de classification ascendante hiérarchique par compromis : hclustcompro

l'adaptant, l'idée présente dans certaines méthodes citées précédemment (Chavent et al., 2018; Ma et Dhavala, 2018) de déterminer une combinaison convexe associée à chacune des sources pour construire le dendrogramme.

### 3. CAH par compromis : hclustcompro

Tout d'abord, rappelons qu'en français, le compromis se définit comme une action qui implique des concessions réciproques. En ce sens, la méthode de classification semi-supervisée hclustcompro peut être vue comme un compromis entre deux CAH obtenues à l'aide de deux sources d'information.

#### 3.1 Une approche basée sur la dissimilarité

Considérons un ensemble de  $n$  objets et notons  $\mathbf{D}_1$  (resp.  $\mathbf{D}_2$ ) la matrice de dissimilarités normalisée<sup>1</sup>  $n \times n$  associée à la première (resp. deuxième) source d'information. Comme décrit dans Bellanger et al. (2020), le principe de hclustcompro est d'appliquer une méthode CAH à la combinaison convexe suivante :

$$\mathbf{D}_\alpha = \alpha \mathbf{D}_1 + (1 - \alpha) \mathbf{D}_2 \quad (1)$$

où  $\alpha \in [0; 1]$  est un paramètre fixé qui pondère chaque matrice de dissimilarité (Eq. 1).

Lorsque  $\alpha = 0$  (resp.  $\alpha = 1$ ), les dissimilarités obtenues à partir de la matrice de dissimilarités  $\mathbf{D}_1$  (resp.  $\mathbf{D}_2$ ) ne sont pas prises en compte dans le processus de classification hiérarchique. Une fois  $\alpha$  fixé, le dendrogramme de la CAH peut être construit à l'aide d'une des stratégies d'agrégation satisfaisant la formulation de Lance et Williams. Ainsi, le point clé de cette approche est le choix de  $\alpha$ . La détermination de  $\alpha$  dépend d'un critère conçu dans l'esprit de la corrélation cophénétique proposée par Sokal et Rohlf (1962). La corrélation cophénétique fait appel à la notion de matrice cophénétique, matrice dont les éléments sont les niveaux de dissimilarité auxquels les objets deviennent membres du même groupe dans le dendrogramme. La corrélation cophénétique correspond à la corrélation linéaire de Pearson entre la matrice de dissimilarité de départ et la matrice cophénétique issue du dendrogramme. Elle permet de mesurer la fidélité avec laquelle un dendrogramme préserve les dissimilarités initiales (voir Sokal et Rohlf, 1962 ; Everitt et al., 2001). La détermination de  $\alpha$  est basée sur l'optimisation de la fonction objectif suivante qui "équilibre" le poids de  $\mathbf{D}_1$  et  $\mathbf{D}_2$  dans la classification finale :

$$CorCrit_\alpha = |Cor(\mathbf{D}_\alpha^{coph}, \mathbf{D}_1) - Cor(\mathbf{D}_\alpha^{coph}, \mathbf{D}_2)| \quad (2)$$

où  $\mathbf{D}_\alpha^{coph}$  est la matrice cophénétique obtenue à partir du dendrogramme issu de la CAH obtenue avec  $\mathbf{D}_\alpha$ ,  $\alpha$  fixé dans (Eq. 1). Le critère  $CorCrit_\alpha$  dans (Eq. 2) représente donc la différence en valeur absolue entre deux corrélations, chacune mesurant la fidélité avec laquelle le dendrogramme obtenu avec  $\mathbf{D}_\alpha^{coph}$  préserve les dissimilarités par paire entre les objets initiaux mesurées avec  $\mathbf{D}_1$  (resp.  $\mathbf{D}_2$ ).

---

<sup>1</sup> Les valeurs de dissimilarité sont comprises entre 0 et 1.

La valeur de  $\alpha$  est déterminée à l'aide de la formule ci-après :

$$\hat{\alpha} = \underset{\alpha}{\operatorname{argmin}} \operatorname{CorCrit}_{\alpha} \quad (3)$$

$\hat{\alpha}$  dans (Eq. 3) peut s'interpréter comme celui conduisant à un dendrogramme représentant la CAH avec  $\mathbf{D}_{\alpha}$  défini dans (Eq. 1) dans lequel la position relative des objets est un compromis entre les dissimilarités  $\mathbf{D}_1$  et  $\mathbf{D}_2$ . La figure 1 ci-dessous illustre le processus d'estimation de  $\alpha$ .

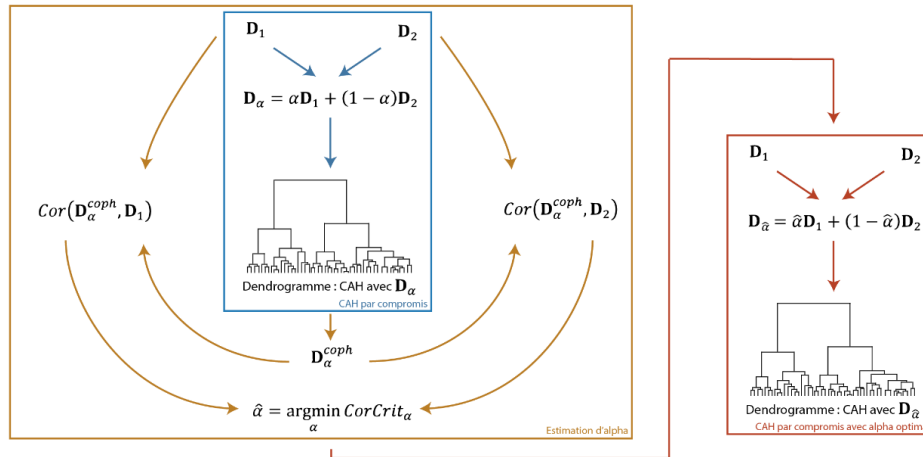


FIG. 1 – Schéma illustratif de processus d'estimation de  $\alpha$ .

Cependant,  $\hat{\alpha}$  est une estimation ponctuelle qui ne tient pas compte des erreurs potentielles dans le corpus de données, nous avons proposé une procédure de rééchantillonnage qui permet d'obtenir un intervalle de confiance pour  $\alpha$  et d'étudier sa variabilité.

### 3.2 Stratégie de rééchantillonnage

La stratégie de rééchantillonnage proposée appelée *Add One In* est conçue dans le même esprit que celle du *Leave One Out* (Efron et Tibshirani, 1993) ; mais elle est basée sur l'ajout d'un "clone" aux objets existants plutôt que sur la suppression d'un objet comme dans le *Leave One Out*. Le principe de la méthode est présenté figure 2. Un clone  $c$  de l'observation  $i \in \{1, \dots, n\}$  est formé d'une copie de l'observation  $i$  de  $\mathbf{D}_1$  et d'une copie de l'observation  $i'$  ( $i' \neq i$ ) de  $\mathbf{D}_2$  soit  $n - 1$  possibilités. Un total de  $n(n - 1)$  clones peuvent alors être créés. Les matrices de dissimilarités  $\mathbf{D}_1^{(c)}$  et  $\mathbf{D}_2^{(c)}$  de dimension  $(n + 1) \times (n + 1)$  représentent les dissimilarités pour un ensemble d'objets composé des objets originaux et du clone  $c$  fixé.

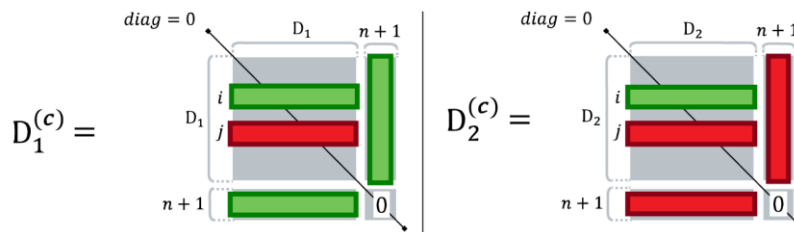


FIG. 2 – Génération du clone  $c$  pour former  $\mathbf{D}_1^{(c)}$  et  $\mathbf{D}_2^{(c)}$ .

Une méthode de classification ascendante hiérarchique par compromis : hclustcompro

$\alpha$  est estimé à partir de l'éq. (2) en remplaçant  $\mathbf{D}_1$  et  $\mathbf{D}_2$  par  $\mathbf{D}_1^{(c)}$  et  $\mathbf{D}_2^{(c)}$  respectivement. Le paramètre  $\hat{\alpha}$  peut être calculé pour chaque clone possible  $c$  afin d'estimer l'écart-type et d'obtenir un intervalle de confiance basé sur la méthode des percentiles pour  $\alpha$  (voir algorithme 1). Une CAH peut alors être réalisée en utilisant  $\mathbf{D}_{\hat{\alpha}}$  ou  $\mathbf{D}_{\tilde{\alpha}}$  où  $\tilde{\alpha}$  est au voisinage de  $\hat{\alpha}$  dans le respect de l'intervalle de confiance  $IC_{95\%}(\alpha)$ .

---

ALGORITHME. 1 – *Add one in* procédure – Ecart-type estimé et  $IC_{95\%}$  par la méthode des percentiles pour  $\alpha$

---

**Pour**  $c \in \{1, \dots, n(n-1)\}$  **faire**

- **Générer** un clone et créer  $\mathbf{D}_1^{(c)}$  et  $\mathbf{D}_2^{(c)}$
- **Définir**  $\mathbf{D}_{\alpha}^{(c)}$  et  $CorCrit_{\alpha}^{(c)}$  où
  - $\mathbf{D}_{\alpha}^{(c)} = (1 - \alpha)\mathbf{D}_1^{(c)} + \alpha\mathbf{D}_2^{(c)}$  et
  - $CorCrit_{\alpha}^{(c)} = |Cor(\mathbf{D}_{\alpha}^{coph(c)}, \mathbf{D}_1^{(c)}) - Cor(\mathbf{D}_{\alpha}^{coph(c)}, \mathbf{D}_2^{(c)})|$
- **Evaluer**  $\hat{\alpha}^{(c)} = \min_{\alpha \in [0;1]} CorCrit_{\alpha}^{(c)}$  ; réplikat de  $\hat{\alpha}$  pour chaque clone  $c$

**Fin**

**Obtenir:**

- $\hat{\alpha}^* = \frac{1}{n(n-1)} \sum_{c=1}^{n(n-1)} \hat{\alpha}^{(c)}$ , estimation ponctuelle de  $\alpha$  à partir des des  $\hat{\alpha}^{(c)}$  ;
  - $\widehat{se}^* = \sqrt{\frac{\sum_{c=1}^{n(n-1)} (\hat{\alpha}^{(c)} - \hat{\alpha}^*)^2}{n(n-1) - 1}}$ , écart-type estimé de  $se(\hat{\alpha}^*)$  ;
  - Un intervalle de confiance (méthode des percentiles)  $IC_{95\%}(\alpha)$  basé sur les réplikats.
- 

Dans le cas où le nombre d'objets  $n$  est grand, la possibilité de ne pas calculer l'intervalle de confiance sur l'ensemble des  $n(n-1)$  clones a été développée afin de réduire le temps de calcul. Il est donc possible de choisir un nombre  $x$  (fixé plus petit que  $n-1$ ) de clones calculés pour l'observation  $i$ . Cette option permet de (i) réduire le nombre de possibilités de  $n(n-1)$  clones à  $n \times x$  clones, (ii) diminuer le temps de calcul à des temps raisonnables tout en conservant un nombre de clones suffisant.

Une CAH peut alors être réalisée en utilisant  $\mathbf{D}_{\hat{\alpha}}$  ou  $\mathbf{D}_{\tilde{\alpha}}$  où  $\tilde{\alpha}$  est proche de  $\hat{\alpha}$  et dans l'intervalle de confiance.

L'algorithme de CAH par compromis est implémenté dans la fonction hclustcompro du package R SPARTAAS (Coulon et al., 2021). Ce package accompagne la méthode avec un ensemble de fonctions permettant de sélectionner un  $\alpha$  optimal, de couper l'arbre ou encore de subdiviser un cluster. De plus, une version Shiny est également disponible pour les utilisateurs occasionnels du logiciel R<sup>2</sup>.

---

<sup>2</sup> <http://www.r-project.org>.

## 4. Résultats de la CAH par compromis sur des données archéologiques

Dans cette section, nous présentons les résultats obtenus avec la CAH par compromis (hclustcompro) sur des données issues de différents sites fouillés à Angkor Thom (Cambodge), capitale de l'empire khmer entre le IXe et le XVe s. (Gaucher, 2004). Nous comparons également les résultats à ceux obtenus avec une CAH classique pour interpréter l'apport de notre méthode dans le cas des données étudiées.

### 4.1 Les données archéologiques

L'un des objectifs majeurs ici est de préciser la périodisation de la ville, notamment à partir (i) du diagramme de sériation ou stratigraphique (Fig. 3) autrement appelé "matrice de Harris" (Harris, 1989) illustrant les relations physiques "sur/sous" donc chronologiques "avant/après" entre ensembles provenant de 3 sites archéologiques séparés (ii) des assemblages céramiques qui leurs sont associés (quantité de tessons par catégorie de céramique et par ensemble stratigraphique). La céramique (vaisselle en terre cuite) a l'avantage d'être indestructible, omniprésente dans les fouilles, avec des changements typologiques rapides dans le temps, ce qui en fait une des meilleures sources de datation en archéologie.

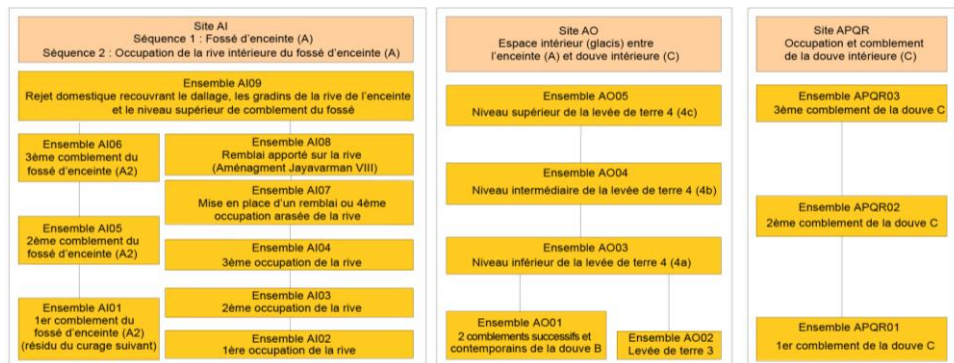


FIG. 3 – Angkor : diagramme stratigraphique de trois sites archéologiques en relation avec le système d'enceinte de la ville.

À partir du diagramme de sériation, il est donc possible de construire  $S_2$ , la matrice symétrique d'adjacence définie comme une matrice binaire de connectivité, puis  $D_2 = \mathbf{1}_{17 \times 17} - S_2$  associée aux 17 ensembles stratigraphiques (voir § 3.1). Les informations sur les céramiques sont contenues dans une table de contingence  $N$  de taille  $17 \times 12$  où les lignes correspondent aux ensembles et les colonnes aux catégories céramiques. Comme très souvent sur ce type de données (Bellanger et Husi, 2012), l'analyse factorielle des correspondances (AFC) (Greenacre, 2016) sur  $N$  permet d'observer dans le plan factoriel 1-2 une forme parabolique dite "en fer à cheval" (effet Guttman) des projections des profils-lignes et colonnes (Fig. 4). Cette forme est révélatrice ici d'une évolution chronologique : l'ordre dans lequel se répartissent les catégories et les ensembles présente une séquence évolutive, mais d'autres facteurs peuvent entrer en ligne de compte. La CAH couplée à l'AFC est très souvent utilisée

Une méthode de classification ascendante hiérarchique par compromis : hclustcompro

pour définir des groupes d'ensembles. Cependant ces groupes ne tiennent pas compte de l'information sur la stratigraphie.

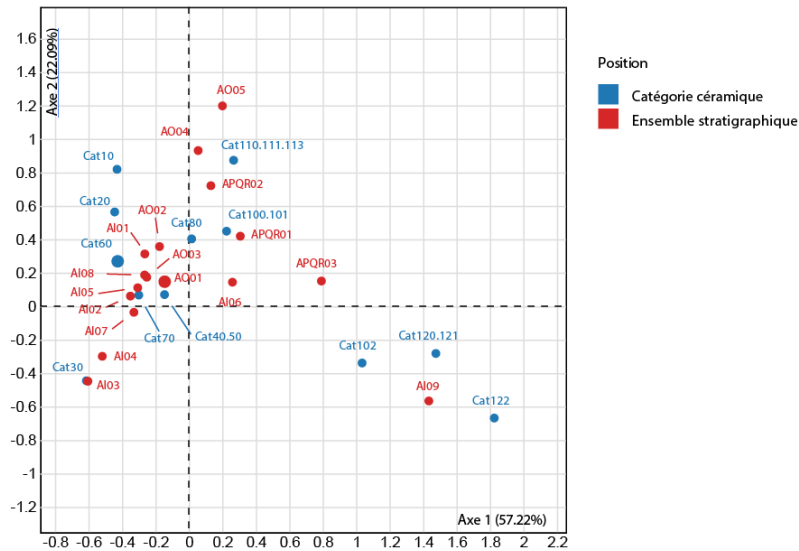


FIG. 4 – Plan 1-2 de l'analyse factorielle des correspondances.

D'où l'idée d'enrichir la construction et l'interprétation globale de la chronologie des 3 sites en combinant l'information sur la céramique à celle découlant du diagramme stratigraphique (Fig. 3) à l'aide d'une méthode de classification adaptée telle que hclustcompro. Les distances euclidiennes entre les ensembles sont calculées à partir de toutes les composantes des profils-lignes de l'AFC sur  $\mathbf{N}$ . Les CAH sur  $\mathbf{D}_1$  représentant la céramique et  $\mathbf{D}_2$  représentant la stratigraphie conduisent aux valeurs les plus élevées du coefficient d'agglomération (Kaufman et Rousseeuw, 2005) pour le critère de Ward. Elle peut être considérée comme la meilleure stratégie d'agrégation à adopter pour ces données. Les dendrogrammes obtenus séparément à l'aide d'une CAH avec critère de Ward peuvent être comparés à l'aide du coefficient d'entanglement qui prend des valeurs comprises entre 0 et 1 ; une valeur faible traduisant de très grandes similitudes entre les 2 dendrogrammes. Dans notre cas, l'entanglement vaut 0.39 : les dendrogrammes sont relativement similaires, mais pas identiques. Cela confirme que les informations fournies par la céramique et la stratigraphie doivent être considérées simultanément pour résoudre le problème de classification.

## 4.2 Obtention d'une partition avec hclustcompro

Pour appliquer hclustcompro, nous définissons  $\mathbf{D}_\alpha$  à partir de (Eq. 1) et déterminons un  $\alpha$  optimal en utilisant (Eq. 3) avec un intervalle de confiance issu de la stratégie de rééchantillonnage (voir Sect. 3.2). Nous obtenons  $IC_{95\%}(\alpha) = [0.55; 0.80]$  et choisissons  $\hat{\alpha} = 0.7$  (Fig 5). Cette valeur indique que pour les données d'Angkor Thom, le poids de chaque source d'information est réparti comme suit : 70% pour la céramique et 30% pour la stratigraphie. Ce déséquilibre peut résulter d'une stratigraphie dont les limites ne sont pas

toujours clairement définies, conséquence de perturbations liées à l'importance des moussons, donc de l'eau au cours du temps.

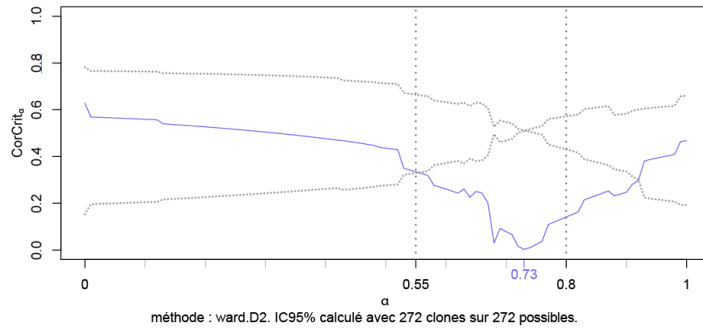


FIG. 5 –  $CorCrit_\alpha$  en fonction de  $\alpha$ .  $\hat{\alpha} = 0.73 \in [0.55; 0.8]$  ;  $\tilde{\alpha} = 0.7$ .

Une CAH de Ward est effectuée avec  $D_{0.7}$  comme défini dans (Eq. 1). Le nombre de groupes à retenir a été choisi en fonction de l'examen de l'échelle des indices d'agrégation associés au dendrogramme (Fig. 6) ; mais aussi en fonction de la connaissance du site par l'archéologue. En effet, le choix de 4 groupes avec le groupe D divisé en 3 sous-groupes (Fig. 6) semble le mieux adapté aux rythmes chronologiques de la ville.

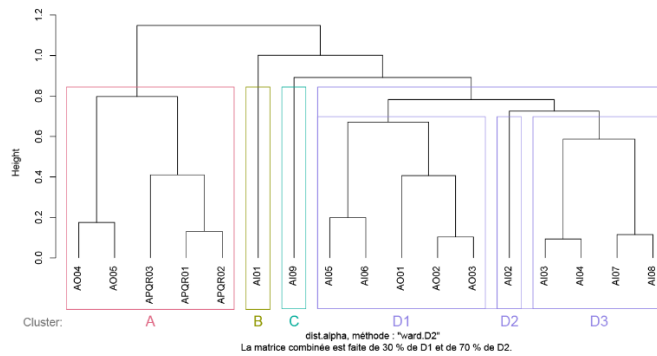


FIG. 6 – Dendrogramme *hclustcompro* ( $\alpha = 0.7$ ) critère de Ward : 4 groupes dont un subdivisé en 3.

### 4.3 Comparaison entre CAH par compromis et CAH

La Fig.7 présente le dendrogramme issu de la CAH avec critère de Ward sur les données céramiques. L'absence de prise en compte de la stratigraphie rend ces résultats difficilement interprétables archéologiquement. En effet, des ensembles en relation physique (Fig. 3) situés entre deux autres peuvent se retrouver de manière incohérente dans un autre groupe, comme ici APQR02 isolé de APQR (01 et 03), cas de figure qui n'existe pas avec *hclustcompro*.

Une méthode de classification ascendante hiérarchique par compromis : hclustcompro

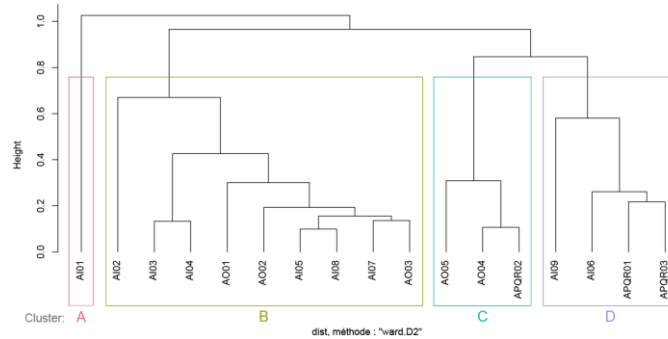


FIG. 7 – Dendrogramme CAH critère de Ward.

L'indice de Rand ajusté (Rand, 1971) montre une relative similitude (0.69) entre les deux partitions en quatre groupes. On observe malgré tout, des différences intéressantes (voir tableau 1).

Partitions		hclustcompro			
		A	B	C	D
hclust	A	0	1	0	0
	B	0	0	0	9
	C	3	0	0	0
	D	2	0	1	1

TAB. 1 – Matrice de confusion entre les partitions CAH par compromis et CAH classique.

Archéologiquement, trois ensembles sont pour certains bien plus anciens (AI01 et AI02) pour d'autres bien plus récents (AI09) que les autres caractérisant les principaux états de construction et d'occupation de l'enceinte. Dans la partition CAH classique, seul l'ensemble AI01 ressort clairement comme isolé des autres. Celle issue de la CAH par compromis traduisant mieux la réalité chronologique de l'histoire du site : elle permet d'identifier AI01, dans une moindre mesure AI02 mais surtout AI09 comme isolé des autres ensembles sachant que ce dernier est bien plus récent que ceux qui le précèdent. La CAH par compromis permet d'intégrer la source d'information stratigraphique pour construire une partition, là où d'autres méthodes de type CAH traiteraient cette information comme une contrainte trop forte.

## 5. Conclusions

Dans ce travail, nous avons présenté une nouvelle méthode de CAH basée sur un compromis entre deux sources d'information disponibles. Cette approche fondée sur une modification de la dissimilarité dans l'algorithme de CAH classique est simple à mettre en œuvre. La matrice de dissimilarités modifiée dans la CAH est une combinaison de deux matrices de dissimilarités, donc par construction tous les critères d'agrégation existants peuvent être utilisés. Les problèmes du choix et de l'interprétation du paramètre de mélange, points clés pour ce type de méthodes de classification, sont résolus. Le paramètre de mélange définit l'importance donnée à chaque source dans la procédure de classification. Bien que hclustcompro ait été conçue à l'origine pour répondre à un problème archéologique, cette

méthode présente un intérêt dans de nombreux autres domaines d'application comme par exemple la santé (Bellanger et al., 2021b).

La CAH par compromis trouve une résonance toute particulière avec les méthodes factorielles d'analyse conjointe de plusieurs tableaux de données telle que STATIS qui recherche un tableau compromis le plus représentatif selon certains critères. Partant de ce constat, la perspective méthodologique naturelle est d'étendre notre méthode au cas de plus de deux sources d'information croisant les mêmes objets.

**Remerciements** Cette recherche a été soutenue en partie par le projet ANR ModAThom coordonné par Philippe Husi et Jacques Gaucher (EFEO). Les auteurs tiennent à remercier Jacques Gaucher pour ses commentaires et son expertise des données et Gilbert Saporta pour nous avoir suggéré la dénomination "CAH par compromis".

## Références

Aggarwal, C. et C. Reddy (2014). *Data Clustering: Algorithms and Applications*. Boca Raton: Chapman and Hall/CRC.

Bellanger, L. et P. Husi (2012). Statistical Tool for Dating and interpreting archaeological contexts using pottery. *Journal of Archaeology Science* 39(4), 777-790.

Bellanger L., A. Coulon et P. Husi (2021a) PerioClust: A Simple Hierarchical Agglomerative Clustering Approach Including Constraints. In: Chadjipadelis T., Lausen B., Markos A., Lee T.R., Montanari A., Nugent R. (eds) *Data Analysis and Rationality in a Complex World*. IFCS 2019. Studies in Classification, Data Analysis, and Knowledge Organization. Springer, Cham. [https://doi.org/10.1007/978-3-030-60104-1\\_1](https://doi.org/10.1007/978-3-030-60104-1_1)

Bellanger, L., L. Chevreuil, P. Drouin, D.A. Laplaud et A. Stamm (2021b). Peut-on détecter des troubles de la marche avant qu'ils ne soient perceptibles ? *Revue Tangente*, Hors-série Bib73 de la "Bibliothèque Tangente" sur Maths et emploi en entreprise.

Chavent, M., V. Kuentz-Simonet, A. Labenne et J. Saracco (2018). ClustGeo: an R package for hierarchical clustering with spatial constraints. *Computational Statistics* 33(4), 1799-1822.

Coulon, A., L. Bellanger et P. Husi (2021). SPARTAAS: Statistical Pattern Recognition and daTing using Archaeological Artefacts assemblageS. R package version 1.0.0. <https://CRAN.R-project.org/package=SPARTAAS>.

Davidson, I. et S. Ravi (2005). Agglomerative hierarchical clustering with constraints: Theoretical and empirical results. In: *9th European Conf. on Principles and Practice of Knowledge Discovery in Databases*, 59–70.

Davidson, I. et S. Basu (2007). A Survey of Clustering with Instance Level. *ACM Transactions on Knowledge Discovery from Data*, 1-41.

Efron, B. et R. Tibshirani (1993). *An Introduction to the Bootstrap*. New York: Chapman & Hall/CRC.

Everitt, B., S. Landau et L. Morven (2001). *Cluster Analysis*. 4th ed. ed. Oxford: Oxford University Press Inc.

Ferligoj, A. et V. Batagelj (1982). Clustering with relational constraint. *Psychometrika* 47(4), 413-426.

Une méthode de classification ascendante hiérarchique par compromis : hclustcompro

Gaucher, J. (2004). Angkor Thom, une utopie réalisée ? Structuration de l'espace et modèle indien d'urbanisme dans le Cambodge ancien. *Arts Asiatiques* 59, 58-86.

Greenacre, M. (2016). *Correspondence Analysis in Practice*. Boca Raton: Chapman & Hall/CRC.

Harris, E. C. (1989). *Principles of Archaeological Stratigraphy*. 2nd ed. ed. London and San Diego: Academic Press.

Hulot, A., J. Chiquet, F. Jaffrézic et al. (2020). Fast tree aggregation for consensus hierarchical clustering. *BMC Bioinformatics* 21, 120. <https://doi.org/10.1186/s12859-020-3453-6>

Kaufman, L. et P. Rousseeuw (2005). *Finding Groups in Data: An Introduction to Cluster Analysis*. New York: Wiley-Interscience.

Lance, G. N. et W. T. Williams (1967). A general theory of classificatory sorting strategies ii. clustering systems. *The computer journal* 10(3), 271–277.

Legendre, P. et L. Legendre (2012). *Numerical ecology*. 3rd ed. Amsterdam: Elsevier Sc. BV.

Ma, X. et S. Dhavala (2018). Hierarchical clustering with prior knowledge. *arXiv:1806.0343*.

Nakache, -J.-P. et J. Confais (2005). *Approche pragmatique de la Classification*. Ed. Technip, Paris.

Rand, W. M. (1971). Objective criteria for the evaluation of clustering methods. *Journal of the American Statistical Association* 66 (336), 846–850. <https://doi.org/10.2307/22842399>

Sokal, R. R. et F.J. Rohlf (1962). The comparison of dendrograms by objective methods. *Taxon* XI (2), 33-40.

Struyf, J. et S. Džeroski (2007). Clustering Trees with Instance Level Constraints. In: Kok J.N., Koronacki J., Mantaras R.L., Matwin S., Mladenič D., Skowron A. (eds) *Machine Learning: ECML 2007. Lecture Notes in Computer Science*, vol 4701. Springer, Berlin, Heidelberg. [https://doi.org/10.1007/978-3-540-74958-5\\_34](https://doi.org/10.1007/978-3-540-74958-5_34)

## Summary

Semi-supervised learning methods allow using a priori knowledge to guide the classification algorithm in group discovery. In this work, we propose a new hierarchical agglomerative clustering algorithm (HAC) that takes into account two sources of information associated with the same objects. This method, called compromise HAC (hclustcompro), allows a compromise between the hierarchies obtained from each source taken separately. A convex combination of the dissimilarities associated with each of the sources is used to modify the dissimilarity measure in the classical HAC algorithm. The choice of the mixing parameter is the key point of the method. We propose an objective function to be minimized based on the absolute difference of correlations between initial dissimilarities and cophenetic distances, as well as a resampling procedure to ensure the robustness of the choice of the mixing parameter. We illustrate our method with archaeological data from the Angkor site in Cambodia.

**Keywords:** hierarchical agglomerative clustering, semi-supervised learning, compromise, cophenetic distance, archaeology.